

## 討12

## ミストジェットによる圧延材の冷却

日本钢管株式会社 技術研究所

国岡計夫

" " "

○野口孝男

" 京浜製鉄所

宅見正雄

" "

八子一了

" 福山製鉄所

菅克之

## I 諸 言

熱鋼片を冷却する方法としては従来空冷（自然空冷、強制空冷）および水冷（シャワー、浸漬、高压ジェット水流、ラミナーフロー等）などによる方法が採用されて来ており、現在も各所で使用されている。しかし空冷の場合は、その冷却能力において、また水冷では冷却均一性においてそれぞれ問題がある。

この論文は、以上を解決すべき方法として、圧縮ガスと水との混合によるミストジェット冷却に着目し、この冷却特性の基礎的検討と、実規模への応用の可能性の検討を行なった事に関するものである。

## II 原 理

熱鋼片を水で冷却する場合、鋼片面からの奪熱熱流束に影響する主要な因子には、①冷却媒体流速の増大、②サブクールの増大、③圧力の増加、等がある。<sup>1)</sup>又伝熱面の均一冷却には、①水滴径、②単位面積流量の均一化、等がある。これらのうち工業的に簡単に伝熱面熱流束を増大させることの出来るのは、①の流速の増大であろう。この効果によって膜沸騰域、核沸騰域、そして対流域の熱伝達率 $\mu$ を向上させるのである。水単相流での流速は ( $P_0 - P = \rho V^2/2g$ ) で与えられ流速を増大するための水圧増加は設備的に限界があろう。それに対して、空気等の圧縮性ガスは理論的に超音速の達成が容易であり、この圧縮性ガスの性質を用いて、水をガスと混合し、超音速ガス流で加速すると容易に数十～百 $m/sec$ のミスト流を達成出来る。又水滴径も高圧ガスによる「剪断力」によって粉碎され水量の少ないときは微細高速流となり、均一冷却に貢献する。この様な高速微細流を達成するため [fig 1] のようなスリット形ノズルを使用し圧縮空気と水とで混合流を作り出すことが出来る。このように、ガスと水の二相流により冷却すると、冷却特性を左右する因子としては、次のようなものがあげられる。①ガス量（ガス圧力）、②水量、③ノズル角度、④スリット幅、⑤噴射距離、などである。

従って上記因子を適当に選ぶと、吐出流速は空気のみの場合、スリット幅 1 mm, 空気圧力 0.5 kg/cm<sup>2</sup>G で 100 m/sec が得られ（水スプレーでは、100 m/sec の流速を得る場合、80 kg/cm<sup>2</sup> の圧力を必要とする。），更に均一度については、フラットスプレーノズルと本方式ノズルとの噴流水の壁面到達密度分布をみると figs 2, 3 となり本方式のノズル幅方向の均一性が、かなりすぐれていることがうかがえる。

## III 試験方法

まず、高温域の沸騰を伴う非定常試験時の試料として fig 4 の如く、

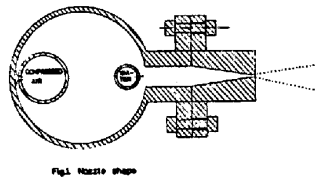


Fig. 1 Nozzle shape.

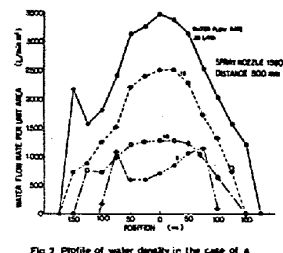


Fig. 2 Profile of water density in the case of a spray nozzle.

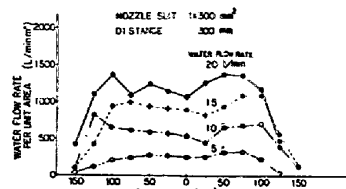


Fig. 3 Profile of water density in the case of a mist-jet nozzle.

0.23% C, 25×300×500 の鋼片を  
970°C に加熱し、この鋼片の厚み方向  
IC 数点 C A 1.6 のインテグラルシース熱  
電対を埋込んだものを使用した。

又、低温域の沸騰を伴わない定常試験  
として fig 5 の如く、0.2×5×10 mm  
の Pt 発熱板に直接通電による方法で壁温 50°C で試験した。

#### N 試験結果

試験は、まず定常状態で再現性のある直接通電法により、よどみ点及びその近傍の特性を測定した。その結果の 1 例を fig 6 ~ 10 IC に示した。非定常のものについては加熱鋼片による実験で測定した。

#### 試験結果 その 1：ガス圧力の影響

fig 6 はガス圧力の影響をみたものであり、これによると圧力が、1.0 kg/cm<sup>2</sup>G 前後で熱流束が不安定となり、かつ熱流束の飽和または、極大値を示す、この現象については、空気の流速が音速以上となる条件  $0.528 < P_0 / P$  によって、ノズル内圧力が 0.9 kg/cm<sup>2</sup>G となると亜音速から音速への変遷で流れが非常に不安定となるものと思われ、又後者については、定水量のもとでは流速増大によって水滴の壁面付着時間が短縮され、伝熱面熱流束が制限を受けることや、このノズルの流速の限界に達したためと思われる。

#### 試験結果 その 2：水量の影響

fig 7 の吐出水量の影響をみると空気圧力が 0.3 kg/cm<sup>2</sup>G のとき、水量が約 8 l/min 以上で、0.3 kg/cm<sup>2</sup>G のときは約 15 l/min で、0.5 kg/cm<sup>2</sup>G のときは約 20 l/min で  $h$  が飽和し、ガス圧力の増大で  $h$  の飽和値は多少上昇する。しかし前のガス圧力の影響結果から、ガス圧力が 1 kg/cm<sup>2</sup>G 以上となると  $h$  は上昇を止めてしまうので、1 kg/cm<sup>2</sup>G 以下で冷却能力の制御が可能であろう。

#### 試験結果 その 3：(水量 $w$ / 空気重量 $A$ ) 比の影響

その 1、その 2 で述べたように空気圧力 1 kg/cm<sup>2</sup>G 以下では冷却能力が、空気圧力（又は空気流量）と水量との関係によって変化する、つまり主として、流速と水量によって冷却能力は左右される。

ここで、流速を決めるのはガス圧力（減衰を考えるとガス量）によるわけであるから、水量と、この速度の 2 つが含まれた〔水量 / ガス重量〕比 ( $w/A$  比) を関数とすることを考えて、まとめると fig 8 の結果が得られた。この図から、わかるように、どのような場合でも、 $w/A$  比が 1 以上で  $h$  は飽和傾向を示し、4 以上になると、 $w/A$  の変化に対して比較的安定した冷却能力をもつことがわかる。

#### 試験結果 その 4：ノズルスリットギャップの影響

いま、空気圧力を一定、つまり近似的に吐出流速一定の場合、空気のみによる冷却能力は非常に小さいので、スリットギャップの変化したことによる吐出空気流の冷却能力の変化を無視すると、fig 9 から、ギャ

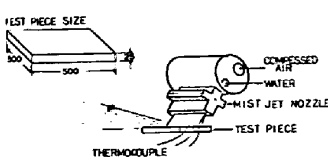


Fig. 4. Hot model experiment.

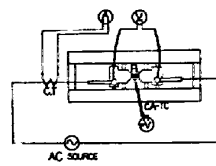


Fig. 5. Cold model experiment.

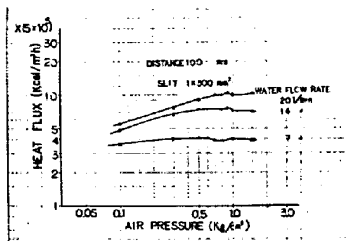


Fig. 6. Relationship between heat flux and air pressure.

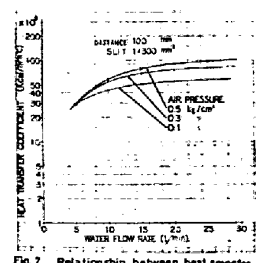


Fig. 7. Relationship between heat transfer coefficient and water flow rate.

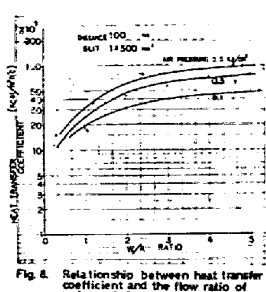


Fig. 8. Relationship between heat transfer coefficient and the flow ratio of water and air.

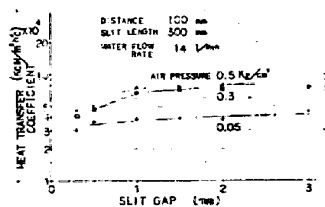


Fig. 9. Relationship between heat transfer coefficient and slit gap.

ツブの狭いときは、吐出空気量も少ないので、水及び空気の伝熱面到達迄の流速減衰が大きく、冷却能力が低下するが、ギャップが広くなると、その減衰も小さなものになることを示していると思われる。

#### 試験結果 その5：ノズル角度の影響

以上、今迄述べて来たのは全てノズル角度が伝熱面に対して $90^\circ$ の場合についてであったが、次にノズル角度を変えた場合のよどみ点及びその近傍の特性を測定してみた。その結果 fig 10 の如くとなり、ノズルから伝熱面上のよどみ点迄の距離が一定であると、角度をつけるほどには大きくなることが、うかがえる。しかし、 $h$ は  $2.5 \times 10^5 \text{ Kcal/m}^2 \text{ h}^\circ\text{C}$  程度で頭打ちとなり、そのときの角度は、 $45^\circ$  近辺である。

従って、強冷の場合の角度は、 $45^\circ$  近辺が、又加速冷却の場合は、広い冷却面のとれる $90^\circ$  が望ましいことがわかった。又、これらの冷却分布は、平板上単独、単相流による分布特性結果と同様なパターンを示し、第2の峰を有する分布となる。<sup>2)</sup>

#### 試験結果 その6：高温域熱伝達率 $h$

基礎的検討の最後として、非定常ではあるが伝熱面が、高温域で沸騰を伴う場合の冷却特性を fig 4 の方法で加熱鋼板の高温（約 $900^\circ\text{C}$ ）からの冷却によって $h$ を求めた。その結果、よどみ点での $h$ は fig 11 のようになり最大達成 $h$ は、伝熱面上壁温が $200^\circ\text{C}$ 付近で、約 $2 \times 10^4 \text{ Kcal/m}^2 \text{ h}^\circ\text{C}$  であった。この値は、現在の冷却設備では達成しうる最大であろう。

又、壁温 $150^\circ\text{C}$ 以下の $h$ の算出は、この試験方法では困難であり定かでないので破線で示すことにした。しかし、fig 5 の直接通電法による壁温 $50^\circ\text{C}$ での $h$ の値との結びつきが、うまく出来ないのは、主に直接通電法の温度境界層の問題や、試験方法上の誤差が原因であると思われる。

#### V 基礎試験のまとめ

以上のように、ミストジェット冷却の上限は現有優秀冷却方式の限界値と同等であり、下限は強制空冷及び放冷迄、自在な $h$ の選択が可能であることがわかり、かつ、冷却均一性についても、秀れていることが判明した。従って、水量及び空気量の可変によって、冷却限界内で、いかなる鋼板厚みのものでも一定冷却速度を得る事が可能となり、又複数ノズルによる干渉や、ノズル角度についても、実用上 fig 10 を組合せれば、それほど問題ないこともわかった。

#### VI 冷却シミュレーション

これ迄の試験結果をもとにして、いかなる冷却設備においても冷却パターン及び冷却速度のシミュレーションが可能なような冷却設備全体の熱伝達率 $hts$ パターンの一般化を試みた。それを以下に述べる。

$hs0$ : fig 11 の壁温 $50^\circ\text{C}$ での熱伝達率

$Hs0$ : fig 10 のよどみ点 ( $\text{POSITION} = 0$ ) での熱伝達率，

$Hsop$ : fig 10 のノズル角度によるパターンを複数組合せた場合の各位置における熱伝達率，

$hs$ : fig 11 の各壁温 $T_s^\circ\text{C}$ での熱伝達率，

とし、また計算においては、以下の仮定を設けた。

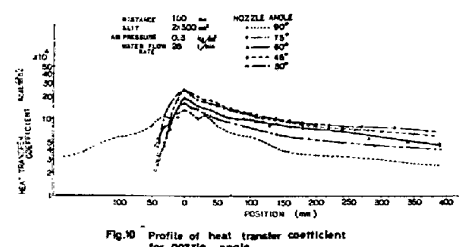


Fig.10 Profile of heat transfer coefficient for nozzle angle

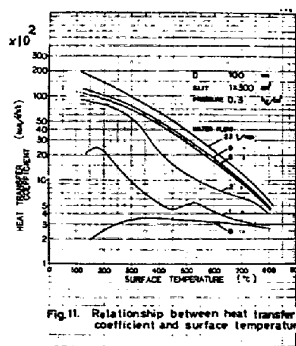


Fig.11 Relationship between heat transfer coefficient and surface temperature.

$$h_{so} \equiv H_{so}$$

その結果冷却設備の各位置 P における伝熱面温度  $T_s$  の熱伝達率  $h_{ts}$  は、

$$h_{ts} = h_s \times H_{sop} / H_{so}$$

となる。この手法で、これから述べる、実規模試験で使用した設備である fig 12 の場合について試算し、この設備の冷却能力を予測した。

## VII 実規模試験

ここで、本方式が調質型高張力鋼の焼入又は、低成分系鋼の加速冷却手段として使用出来るかどうかを調査するために fig 12 の如く、ノズルが上下、前後する試験設備を用いて、試料サイズ、max 4.0 t × 1.829 m × 3.000 l の試験材を用いて試験した。

その結果、焼入時の冷却速度は fig 13 の如く、ローラクエンチと同等という結果が得られ、又板長手方向の冷却歪については、fig 14 に示す如く加速冷却及び焼入冷却についても全水量を上面 5、下面 7 の配分にすれば上下冷却能が等しくなり、冷却歪が最少となることが判明した。

更に、前記計算手法でのシミュレーション結果と試験値の値は、fig 15 のようになり、かなり精度良くシミュレート出来ることが確認出来た。

## VIII 結 言

以上、ミストジェット方式による冷却特性についての各種試験の結果、鋼材を焼入するに充分な能力をもち、またこの方式で、W/A の可変により冷却能力を均一でかつ、容易に制御出来るということがわかった。

更に、この冷却方式及び他の冷却方式における冷却設備の冷却シミュレーションが可能な計算手法も開発することができた。

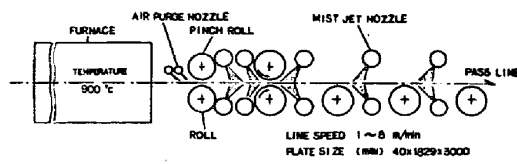


Fig.12 Outline of mist-jet cooling equipment for full-size experiment.

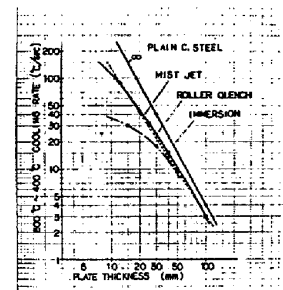


Fig.13 Relationship between cooling rate and plate thickness by several quenching processes.

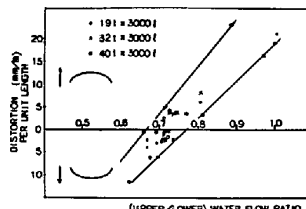


Fig.14 Relationship between distortion and the water flow rate of upper and lower

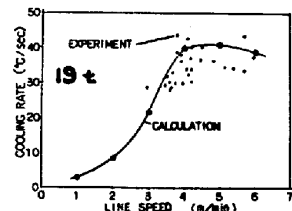


Fig.15 Influence of line speed on the cooling rate

## 参考資料

- 1) 日本機械学会, 沸騰熱伝達, 1-14 (昭40)
- 2) 熊田雅彌, 他2名, 日本機械学会誌第76卷第655号, 822-830,